

구 주위 난류유동에 관한 가시화 연구

장영일* · 이상준**

Visualization of Turbulent Flow around a Sphere

Young IL Jang* and Sang Joon Lee**

Keywords : Sphere(구), PIV(입자영상유속계), Turbulent wake(난류 후류), Flow visualization(유동가시화)

Abstract

The turbulent flow around a sphere was investigated using two experimental techniques: smoke-wire flow visualization in wind tunnel at $Re=5300, 11000$ and PIV measurements in a circulating water channel. The smoke-wire visualization shows flow separation points near an azimuthal angle of 90° , recirculating flow, transition from laminar to turbulent shear layer, evolving vortex roll-up and fully turbulent eddies in the sphere wake. The mean velocity field measured using a PIV technique in x-y center plane demonstrates the detailed near-wake structure such as nearly symmetric recirculation region, two toroidal vortices, laminar separation, transition and turbulent eddies. The PIV measurements of turbulent wake in y-z planes show that a recirculating vortex pair dominates the near-wake region.

1. 서 론

구(sphere)는 3차원 둥뚝한 물체(bluff body)의 전형적인 예로서 그 동안 많은 연구가 수행되어왔다. 구는 축대칭 물체이지만, 구 주위 유동은 레이놀즈수에 따라 축대칭 유동, 평면 대칭 유동, 불규칙한 박리점의 회전, 비정상(unsteady) 외류 유출, 층류 후류, 전단층 불안정, 난류 후류, 난류 박리 등 매우 복잡한 유동형태를 보인다. 이와 같은 복잡한 유동특성에 기인하여 구 주위 유동은 아직까지 밝혀지지 못한 부분이 많이 남아있다. 균일한 유동속에 놓인 구 주위 난류 유동($Re>800$)에 관한 실험적 연구는 주로 열선유속계(hot-wire)를 이용하여 와(vortex) 유출 특성을 분석하였으며, 염료와 연선(smoke-wire) 기법을 이용하여 구 주위 유동을 가시화하였다. 그러나, 구의 고정, 유동의 높은 시간 의존성, 넓은 박리영역, 복잡한 3차원 난류특성 등 많은 이유들 때문에 구 후류에 대한 실험적 연구는 그리 많지 않다[1-4]. 본 연구에서는 구를 와이어를 사용하여 고정한 후 연선(smoke-wire) 가시화 기법을 적용하여 난류 유동구조를 가시화하고, PIV 측정기법을 이용하여 구 주위 유동의 속도장을 측정하여 이로부터 획득한 유동정보를 통해 구 후류의 난류특성을 해석하고자 한다.

2. 본 론

2.1 실험장치 및 방법

Fig. 1은 회류수조에서 수행한 PIV 속도장 측정 실험장치의 구성과 측정방법을 보여주고 있다. 측정부의 크기는 $4.5^L \times 1.0^W \times$

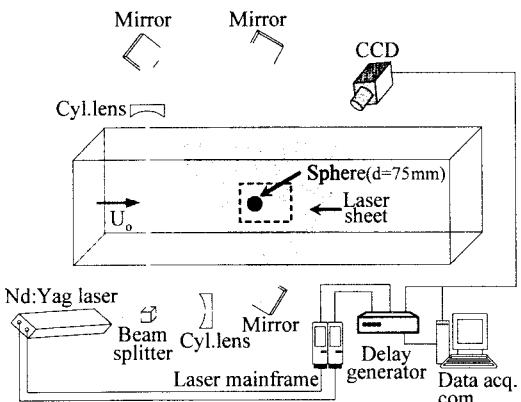


Fig. 1 Schematic of experimental set-up and PIV system

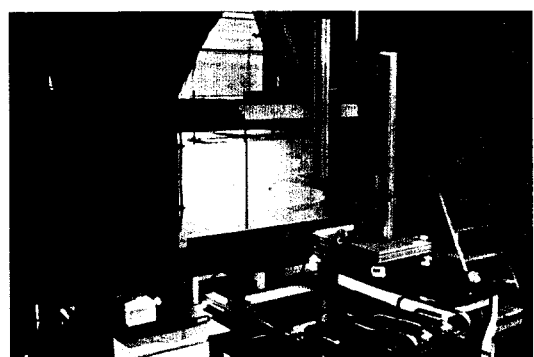


Fig. 2 Circulating water channel used in this study

* 포항공과대학교 기계공학과 대학원, yijang@postech.ac.kr
** 포항공과대학교 기계공학과 교수, sjlee@postech.ac.kr



Fig. 3 Smoke-wire flow visualization of sphere wake

$1.0^H m^3$ 이고, 난류강도는 0.28 % 미만이다. 실험에 사용된 구는 아크릴 재질로 만든 속이 빈(hollow) 구이고 직경(d)은 75mm이며, 직경이 0.27mm인 기타(guitar) 와이어 2개를 구 중앙단면을 통해 'X'자 형태로 교차시켜 연결하고 회류수조 프레임에 단단히 고정하여 측정부 중앙에 위치하도록 설치하였다. 측정부 중앙에 위치한 구는 본 연구에서 다룬 유속범위 내에서 주유동 단면과 횡 단면에서 진동이 거의 관찰되지 않았다.

그리고, 실험시 한쪽 방향에서 조명할 경우 반대방향에 생기는 구의 그림자를 제거하기 위해 레이저(New Wave, 125mJ, 파장:532nm) 평면광이 구의 위와 아래 두 방향에서 조사되도록 빔 분리기(beam splitter), 거울, 원통형 렌즈 등을 사용하여 조명장치를 구성하였으며, 평면광의 두께를 약 3mm로 조절하였다. 사용된 CCD 카메라의 해상도는 $2K \times 2K$ (8bit) pixels이며, 35mm 마이크로 렌즈를 장착하였다. 추적입자는 평균직경이 $10 \mu m$ 인 은으로 코팅된 구형 bead를 사용하였다. 순간속도장 결과들을 양상블(ensemble) 평균하여 평균속도장과 난류통계치 정보를 획득하였으며, 여러 벡터들은 Gaussian 보간법으로 보정하였다.

2.2 실험결과

선행 연구[4]에 따르면, 본 연구에서 실험한 레이놀즈수 영역에서 구를 지나는 비정상(unsteady) 와 유출 유동은 불규칙적으로 회전하는 박리선(separation line)과 주기적으로 굽이치며(wavy) 하류로 진행하는 와 유출 특성을 띠며 후류의 난류구조가 비대칭적인 것으로 알려져 있다.

Fig. 3은 $Re=11,000$ 에서 연선으로 가시화한 구 주위 유적선을 찍은 사진인데, 구 주위의 복잡하고 비정상(unsteady)인 난류 유동형태의 일면을 잘 보여주고 있다. 그림에 표시한 가로축은 구의 중심으로부터 주유동 방향의 거리를 구의 직경으로 무차원화한 값(x/d)이다. 이 가시화 결과는 방위각 90° 근처에서의 층류박리, 실린더 형태의 층류전단층의 진행, 난류전단층으로의 천이, 와류 roll-up, 난류 에디 등을 보여주고 있다.

Fig. 4는 PIV 속도장 측정기법으로 구($d=40mm$) 주위 중앙 종단면($x-y$ 평면)에서 측정한 순간속도장 결과들을 양상을 평균하여 구한 평균속도장 결과로서 구 표면에서 박리된 유선이 구 이면에서 안쪽으로 휘감아 회전하는 재순환 와류쌍을 관찰 할 수 있다. 이 재순환 와류쌍의 중심은 $x/d=0.55$, $y/d=\pm 0.33$ 지점에 위치하고 있으며, 와류쌍의 끝은 구 후방으로 $x/d=0.85$ 까지 이어진다. Fig. 5는 구 후류 중심단면에서 측정한 레이놀즈 전단응력 분포를 나타낸 것으로 방위각 90° 을 약간 지나서 아주 좁은 영역에서 레이놀즈 전단응력이 발생하기 시작하며, 근접 후류의 재순환 와류쌍 영역에서 대칭성을 띠며 큰 값을 가진다. 구 주위의 3차원 난류특성을 보다 자세히 분석하기 위해 구 주위 중앙

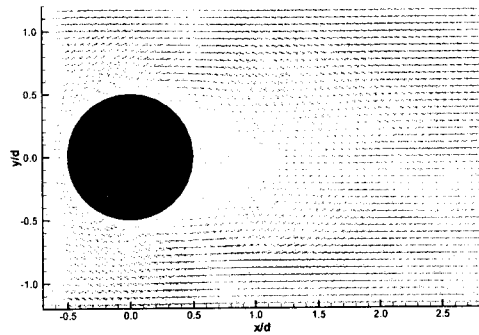


Fig. 4 Mean velocity field of flow around a sphere

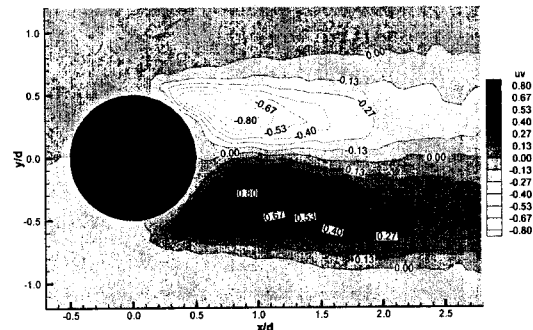


Fig. 5 Spatial distribution of Reynolds shear stress

종단면 뿐 아니라 횡단면인 $y-z$ 평면에서의 PIV 측정결과도 제시될 것이다.

3. 결 론

구 주위 유동에 대해 연선 가시화와 PIV 속도장 측정실험을 수행하여 구 주위 유동의 난류특성을 실험적으로 해석하였다. 구를 와이어를 이용하여 회류수조 시험부 중앙에 고정한 후 중앙단면에서 순간속도장을 획득하고 평균 속도장과 난류 통계치의 공간분포를 도출하였다. 속도장 측정결과, 평면대칭 형태의 재순환 와류쌍이 구 후방 근접 후류 영역의 지배적인 유동형태로 나타났다. 와류쌍의 중심은 구 후방 $x/d=0.55$, $y/d=\pm 0.33$ 에 위치하고 있으며, 주유동 방향 속도성분은 $x/d=0.8$ 위치까지 음의 값을 가지며 포물선 형태의 운동량 결손 분포를 나타내었다. 근접후류에서 주유동방향 평균속도, 레이놀즈 전단응력 및 난류 운동에너지에는 재순환 와류쌍의 경계부근에서 최대값을 가졌다.

참고문헌

- [1] E. Achenbach, 1974, "Vortex shedding from spheres", J. Fluid Mech., Vol. 62, Part 2, pp. 209-221
- [2] H. Werlé, 1980, "ONERA photograph", An Album of Fluid Motion (assembled by M. V. Dyke), The Parabolic Press. pp. 32-35
- [3] H. J. Kim and P. A. Durbin, 1988, "Observations of the frequencies in a sphere wake and of drag increase by acoustic excitation", Phys. Fluids, Vol. 31, No. 11, pp. 3260-3265
- [4] H. Sakamoto and H. Hanu, 1990, "A study on vortex shedding from spheres in a uniform flow", J. Fluids Eng., Vol. 112, pp. 386-392